

## スラック予測を用いた クラスタ型スーパースカラ・プロセッサ向け命令ステアリング

福山 智久<sup>†1</sup> 三輪 忍<sup>†1</sup> 嶋田 創<sup>†1</sup>  
五島 正裕<sup>†2</sup> 中島 康彦<sup>†3</sup>  
森 眞一郎<sup>†4</sup> 富田 眞治<sup>†1</sup>

我々は、命令のスラック (slack) に基づくクリティカルITY予測を提案している。ある命令の実行を  $s$  サイクル遅らせてもプログラムの実行時間が増大しないとき、 $s$  の最大値をその命令のスラックという。前回の実行時のスラックを予測表に登録しておくことによって、それを今回の予測値とすることができる。本稿では、スラック予測をクラスタ型スーパースカラ・プロセッサのステアリングに応用する方法を提案する。各命令の実行後に得られるスラックの値によって、その命令が次回実行時に使用するクラスタを決定する。シミュレーションによる評価の結果、発行幅が4のプロセッサを2つのクラスタに分割した場合、クラスタ化されていないプロセッサに比べ約10% IPCが低下することが分かった。

### Instruction Steering for Clustered Superscalar Processor with Slack Prediction

TOMOHISA FUKUYAMA,<sup>†1</sup> MIWA SHINOBU,<sup>†1</sup> HAJIME SHIMADA,<sup>†1</sup>  
MASAHIRO GOSHIMA,<sup>†2</sup> YASUHIKO NAKASHIMA,<sup>†1</sup> SHIN-ICHIRO MORI<sup>†1</sup>  
and SHINJI TOMITA<sup>†1</sup>

We proposed an instruction criticality prediction technique based on prediction of instruction slacks. When the execution time of a program doesn't become longer even if an instruction of the program is delayed by  $s$  cycles, the maximum of  $s$  is referred to as the slack of the instruction. The slack value is stored to the prediction table to be a predicted value for the next time. This paper describes instruction steering of clustered processor with slack prediction. The cluster that an instruction will use at the next time is decided by the slack value given after the execution of the instruction. Evaluation result shows IPC is reduced 10% in comparison with non-clustered processor.

#### 1. はじめに

命令のクリティカルITY (criticality), すなわち、命令がどれほどクリティカルかを知ることは、スーパースカラ・プロセッサの高性能化と省電力化の両方に効果がある。例えば、命令をスケジューリングするときには、よりクリティカルな命令を優先的に発行した方がよい。また、クリティカルでない命令のみを低速/低消費電力の演算器で実行することで、性能を大きく低下させずに省電力化を図ることができる<sup>1)-5)</sup>。

さて、従来このような研究の多くは、プログラムのク

リティカル・パスに基づいて行われてきた。しかし、この方法には、以下のような問題点がある:

- (1) 論理的 演算器の数やキャッシュ・ミスなど、実行しているプロセッサの物理的な制約が反映されていない。
- (2) 二値的 最もクリティカルな命令を教えるのみで、それ以外の命令がどの程度クリティカルでないかの判定できない。
- (3) クリティカル・パスの判定が困難 実行中のプログラムのクリティカル・パスを判定することはそれほど容易ではない。

一方、我々はクリティカル・パスではなく命令のスラック (slack)<sup>6)</sup> によって、命令のクリティカルITYを測ることを提案した<sup>7),8)</sup>。ある命令の実行を  $s$  サイクル遅らせてもプログラムの実行時間が増大しないような  $s$  の最大値をその命令のスラックという。したがって、クリティカルな命令のスラックは0サイクルである。

スラックはデータの定義時刻とそのデータの使用時刻の差で求められ、前回実行時のスラックを予測表に

<sup>†1</sup> 京都大学  
Kyoto University

<sup>†2</sup> 東京大学  
University of Tokyo

<sup>†3</sup> 奈良先端科学技術大学院大学  
Nara Institute of Science and Technology

<sup>†4</sup> 福井大学  
University of Fukui

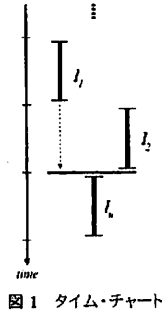


図1 タイム・チャート

登録しておくことによって、それを今回の予測値とすることができる。

図1に、命令が実行される様子を表わすタイム・チャートを示す。図中、「I」が命令の実行を表し、「I」の長さはその命令の実行レイテンシを表す。上下の「I」の間にある横線は、フロー依存関係を表す。

同図では、命令  $I_1$  が定義した結果を最初に使用する命令は  $I_u$  となっている。すると  $I_1$  のスラック  $s$  は、原則的には、定義命令  $I_d$  による定義時刻  $t_d$  と、使用命令  $I_u$  による使用時刻  $t_u$  の差、つまり：

$$s = t_u - t_d - 1 \quad (1)$$

によって得られる。この式に従えば、図1の  $I_1$  のスラックは1サイクル、 $I_2$  のスラックは0サイクルとなる。なお、以下ではスラックの単位を省略し、「命令  $I_1$  のスラックは1」のように言うことにする。

スラック予測器を用いることで、前述した問題点は以下のように解決されると期待できる：

- (1) 実効的 履歴に基づいてスラックを予測するので、物理的、実効的なクリティカルティが反映される。
- (2) 多值的 クリティカルティの大/小は、スラックの小/大によって多值的に表現される。よって、例えばスラックの値がそれぞれ0, 1, 10である3つの命令があった場合、スラックが小さい2つの命令を優先して実行することができる。
- (3) スラックの判定は容易 クリティカル・パスとは異なり、スラックは(1)で容易に求めることができる。

本稿では、スラック予測を用いた高速化へのアプローチとして、クラスタ型スーパースカラ・プロセッサ<sup>9)</sup>における命令ステアリングに、スラック予測器による予測結果を用いる方法について述べる。

クラスタ型スーパースカラ・プロセッサでは、図2に示すように、実行ユニットをクラスタと呼ばれる複数のグループに分割し、クラスタ間のオペランド・パイパスを省略する。このため、クラスタ内のパイパスは約1/(クラスタ数)に短縮され、高速なパイピングが可能となり、プロセッサの高クロック化に繋がる。

一方、IPC (Instruction Per Cycle) は低下傾向にある。依存関係にある命令を別クラスタで実行した場合、

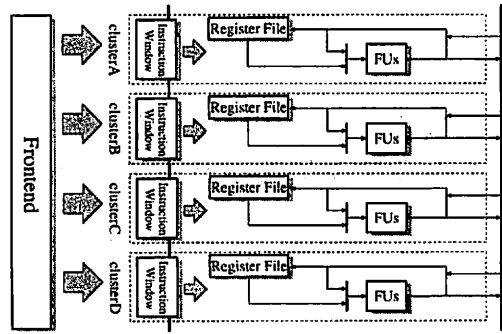


図2 クラスタ型スーパースカラ・プロセッサ

オペランド・パイパスが利用できない、そのため、同一クラスタで実行した場合に比べ、クラスタ間データ転送に数サイクル余分に遅延が生じ、依存命令の Wakeup が遅れてしまう。また、個々のクラスタはクラスタ化されていないプロセッサに比べスループットが小さいため、特定のクラスタに命令が集中することにより Wakeup 済み命令の Select が遅れてしまう。よって、依存関係にある命令を同一クラスタにステアリングし、なおかつ各クラスタの負荷が均一になるようなバランス良いステアリング方式が求められる<sup>10),11)</sup>。

そこで、我々は各命令の実行後に得られるスラックの値によって、その命令が次回実行時に使用する命令を決定するステアリング方式を提案する。決定したクラスタ番号はスラックと同じ予測表に記憶し、次の使用クラスタ番号とする。

以下、2章でスラック予測器について、3章でスラックを用いた命令ステアリングについて述べた後、4章で評価を行う。

## 2. スラック予測器

本章では、スラック予測器の基本的な実装について述べる。以下、まず2.1節でスラック予測器のデータ構造についてまとめた後、2.2節で予測器に対する登録、参照といった操作について説明する。

### 2.1 スラック予測器の構成

スラック予測器は、主にスラック表と定義表の2種の表からなる。

#### スラック表

スラック表は、命令の過去のスラックを記録する予測表本体であり、値予測における VHT (Value History Table) に相当する。なお、本稿で述べる命令ステアリングでは、スラック表にクラスタ番号を記録するためのフィールドを付加してある。詳細は3章で述べる。

#### 定義表

定義表は、各データに対し、以下を記録する：

- (1) 定義時刻 そのデータが定義された時刻

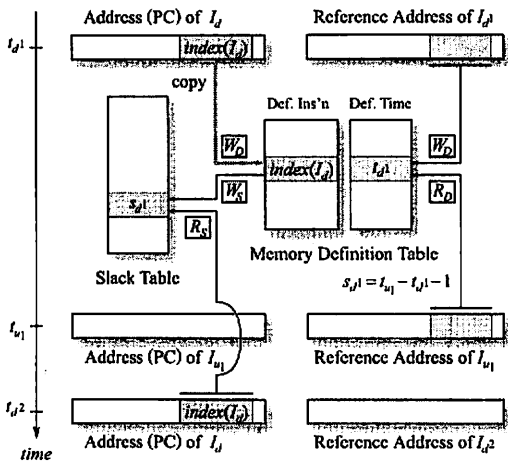


図3 予測器に対する操作（ストア命令の場合）

- (2) 定義命令 そのデータを定義した命令  
 (3) クラスタ番号 使用したクラスタ番号

定義表は、スラック表に記録するスラック自体を計算するために用いられる。論理的には、レジスタ・ファイルやメモリ上の各データに対して、定義時刻、定義命令を記録するフィールドを付加したものと考えてよい。データが使用されるとき、データと同時に定義表に記録された定義時刻を読み出せば、定義命令のスラックを計算することができる。

ただし、システム中のすべてのデータに対して定義時刻、定義命令、クラスタ番号を記録することは非現実的である。予測精度とハードウェア・コストのバランスをとるためには、アクセス頻度の高いロケーションに対してエントリを提供することが肝要である。

アクセス頻度を考慮して、定義表は、データの格納場所がレジスタかメモリかによって2つに分け、それぞれ以下のように実装する：

- (1) レジスタ定義表 物理レジスタ番号をインデクスとするRAMによって構成する。  
 (2) メモリ定義表 ロード/ストア命令の参照アドレスをインデクスとするキャッシュとして構成する。

## 2.2 スラック予測器の動作

以下では、命令  $I_d$  の  $n$  回目 ( $n \in \mathbb{N}$ ) の実行を、肩付き数字を用いて、 $I_{d^n}$  のように表すことにする。また、 $I_{d^n}$  が定義したデータを最初に使用する命令の実行を  $I_{l_n}$  と表す。なお、 $I_{d^i}$  と  $I_{d^j}$  ( $i, j \in \mathbb{N}, i \neq j$ ) は同じ命令であるが、 $I_{d^i}$  と  $I_{d^j}$  は一般に異なる。

図3では、ストア命令  $I_{d^1}$  とロード命令  $I_{l^1}$  が、それぞれ、時刻  $t_{d^1}$  および  $t_{l^1}$  に実行されている。スラック表への登録、および、同スラック表への参照、すなわち、予測は、以下の様に行われる：

- (1) 登録 登録は、以下のように、(a)  $I_{d^1}$  がデータを定義するとき、(b)  $I_{l^1}$  がそのデータを使用するときの2つのフェーズからなる：

- (a) 定義  $I_{d^1}$  がデータを定義するとき、以下の操作が行われる：

$W_D$  現時刻  $t_{d^1}$  と  $I_{d^1}$  自身（のアドレス）を定義表に書き込む。

- (b) 使用  $I_{l^1}$  がそのデータを使用するとき、以下の2つの操作が連続して行われる：

$R_D$  定義表を読み出して、定義時刻  $t_{d^1}$  と定義命令  $I_{d^1}$ （のアドレス）を得る。

$W_S$  定義時刻  $t_{d^1}$  と現時刻  $t_{l^1}$  から、 $I_{d^1}$  のスラック  $s_{d^1}$  が、 $s_{d^1} = t_{l^1} - t_{d^1} - 1$  と求まる。スラック表の定義命令  $I_{d^1}$  のエントリに、求めた  $s_{d^1}$  を書き込む。

- (2) 予測 命令  $I_d$  が再びフェッチされると、以下の操作が行われる：

$R_S$   $I_d$  のアドレスをインデクスとしてスラック表を直接読み出すことで、前回のスラック  $s_{d^1}$  が得られる。

ストア命令以外の場合には、基本的には、メモリ定義表をレジスタ定義表に、参照アドレスを物理レジスタ番号に、それぞれ読み替えればよい。

なお、スラックの計算を行うのは、そのデータが最初に使用されるときのみである。よって、 $R_D$  において、読み出された定義表のエントリを無効化し、同じエントリが繰り返し読み出されないようにする。これは、メモリ定義表のエントリの有効利用にも効果がある。

## 3. スラック予測を用いた命令ステアリング

本稿で提案するステアリング方式では、各命令の実行後に得られるスラックの値によって、その命令が次回実行時に使用するクラスタを決定し、そのクラスタ番号をスラック表に登録する。そして、その命令が再度実行される時には、スラック表を読み出すことにより今回使用するクラスタ番号を得る。命令が初めて実行される時やスラック表のエントリがリプレースされるなどしてアクセス・ミスした場合には、負荷が最小のクラスタにステアリングする。

### Consumer Based

スラックの計算の結果、データを定義した命令とデータを使用した命令（Consumer）を同じクラスタで実行した方がよいと判断した場合、次回実行時には使用命令が今回使用したクラスタで両方の命令を実行するようにする。同じクラスタで実行する必要がないと判断した場合には、定義命令は今回使用したクラスタを次回も使用する。

2.2節で述べたように、定義命令のスラックの計算は使用命令のレジスタ読み出しまたはメモリ・アクセスの時にされる。スラックの計算の結果、得た値がクラス

タ間通信遅延より小さければ、定義命令と使用命令を同じクラスタで実行した方がよいと判断し、使用命令が実行中であるクラスタ番号をスラック表の定義命令のエントリに登録する。逆に、スラックの値がクラスタ間通信遅延以上であれば、定義表に登録してある定義命令が前回使用したクラスタ番号をスラック表に登録する。

この方式では、スラックがクラスタ間通信遅延よりも小さい定義命令が複数あれば、次回実行時には全て同じクラスタで実行することが可能となる。一方、使用命令が次回実行時に使用するクラスタは、その後続の命令により決定され、今回と同じクラスタで実行されるには限らない。そのため、スラックの値がクラスタ間通信遅延よりも小さい一連の命令列を全て同じクラスタで実行できるようになるのは、数回の実行後となる。

### Producer Based

Consumer Base とは逆に、定義命令 (Producer) と使用命令を同じクラスタで実行した方がよいと判断した場合には、次回実行時には定義命令が今回使用したクラスタで使用命令を実行する。

スラックの計算の結果、スラックがクラスタ間通信遅延より小さければ、定義命令が今回使用した、もしくは、定義命令の先行命令によって定義命令が次回実行するクラスタが決まっていればそのクラスタ番号を、定義表の使用命令のエントリに使用命令が今回使用したクラスタ番号とは別に登録する。定義命令については、次回使用するクラスタが登録されていればそのクラスタ番号を、されていなければ今回使用したクラスタ番号をスラック表に登録する。このように、Producer Base では今回使用したクラスタ番号だけでなく次回使用するクラスタ番号も定義表に登録する必要がある。

この方式では、一度の実行で連続する命令列を全て同じクラスタで実行することができるが、定義側の命令にスラックの値がクラスタ間通信遅延より小さいものが複数あった場合には、そのうちの1つしか使用するクラスタ番号を登録できず、他の命令は次回同じクラスタで実行されてしまう。

図4、図5に Consumer Based, Producer Based を用いた場合の使用クラスタの遷移を示す。図4は Consumer Based が有利になる場合であり、図5は Producer Based が有利になる場合である。

図4・左では、 $I_1$  と  $I_3$ 、 $I_3$  と  $I_4$  がそれぞれ別クラスタで実行されているのでクラスタ間通信による遅延が生じる。その結果、全ての命令を同じクラスタで実行したときに比べ、合計で2サイクル  $I_4$  の実行が遅れる。

Consumer Based を用いた場合、 $I_3$  の実行時に  $I_1$ 、 $I_2$  のスラックが0と計算されるので、この2つの命令が次に実行される時には、 $I_3$  が今回使用したクラスタ  $C2$  で実行される。一方、 $I_4$  の実行時も同様に  $I_3$  のスラックが0と計算されるので、 $I_3$  が次回実行されるクラスタは  $I_4$  が今回使用した  $C1$  となる。その結果、これら

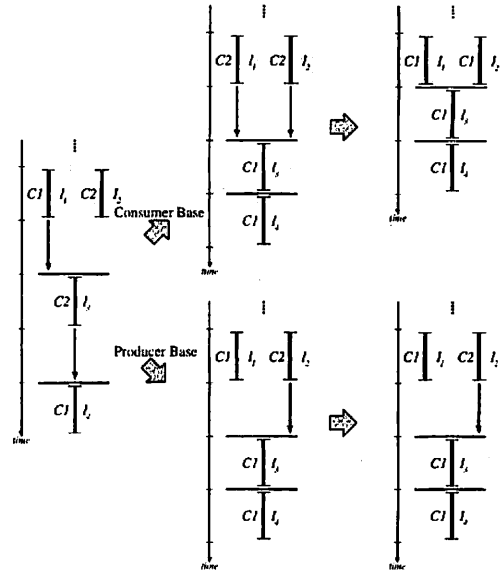


図4 Consumer Based が有利な場合における使用クラスタの遷移

の4つの命令が次に実行されるときには、図4・中上のように、 $I_1$  と  $I_2$  がクラスタ  $C2$  で、 $I_3$  と  $I_4$  がクラスタ  $C1$  で実行され、 $I_4$  の実行タイミングは前回と比べ、1サイクル早くなる。同様に、さらに次の実行時には、図4・右上のように、4つの命令が全て同じクラスタで実行されクラスタ間通信による遅延は発生しなくなる。

一方、Producer Based を用いた場合、図4・中下では、 $I_1$ 、 $I_2$  が使用するクラスタは前回使用したクラスタと同じであり、 $I_3$ 、 $I_4$  が使用するクラスタは  $I_1$  と同じクラスタ  $C1$  である。その結果、Consumer Based の場合と同様、 $I_4$  の実行タイミングは1サイクル早くなる。しかし、さらに次の実行時では、図4・右下のように、4つの命令の使用クラスタは変わらないので、 $I_4$  の実行タイミングは Consumer Based の場合に比べ、毎回1サイクル遅れることになる。

図4・左のような場合では Consumer Based が有利であったが、逆に、図5・左のような場合では Producer Based が有利となる。つまり、Producer Based の場合、図5・左の次の実行時には、右の図のように、 $I_1$ 、 $I_2$ 、 $I_3$  の3つの命令を全て同じクラスタで実行し  $I_3$  の実行タイミングが2サイクル早くなる。一方、Consumer Based の場合では、図5・中を経由するので、図5・右のように実行できるのに、Producer Based よりも1回多く実行しなければならない。

このように、命令の実行後に次回実行時の使用クラスタを決定することにより、フロントエンドでの依存関係の解析を待たずに依存関係を考慮した命令ステアリングが可能となる。また、スラック表へのアクセスは命

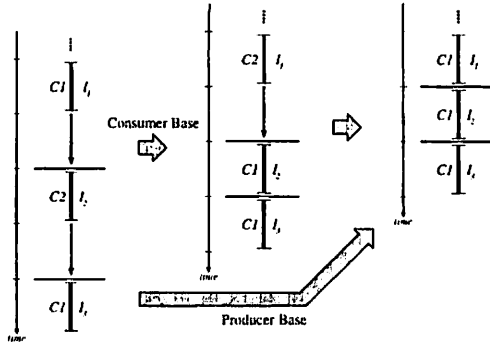


図5 Producer Based が有利な場合における使用クラスタの選移

令のアドレスを用い、命令フェッチと同時に開始できる。よって、この方式では、ディスパッチの前にステアリング・ステージを必要としない。このことは、分岐予測ミス・ペナルティの軽減にも効果がある。

#### 4. 評価

シミュレーションにより、3章で提案したステアリング方式の評価を行う。

##### 4.1 評価方法

SimpleScalar ツールセット (ver. 3.0) の sim-outorder シミュレータに対して、スラック予測器とクラスタ型スーパースカラ・プロセッサを実装し、SPEC ベンチマークを用いて本稿で述べた命令ステアリングの効果を測定した。測定には SPEC CINT2000 の 8 本のプログラムを使用し、train 入力セットを用い、最初の 1G 命令をスキップし、続く 100M 命令を実行した。

##### プロセッサのモデル

プロセッサの主なパラメタを表 1 に示す。評価で用いたプロセッサの総発行幅は 4 もしくは 8 とし、各クラスタの命令ウィンドウのサイズは 32 エントリとした。各クラスタは全種類命令を実行できる、いわゆる万能実行ユニットを 1 つもしくは 2 つずつ持っている。つまり、各クラスタ毎の発行幅は 1 もしくは 2 命令となる。クラスタ間の通信遅延は 2 サイクルとした。

##### テーブルのパラメタ

表 2 に、テーブルのパラメタを示す。スラック表、お

| パラメタ       | サイズ         |        |
|------------|-------------|--------|
| 実効幅        | 4 命令        | 8 命令   |
| クラスタ数      | 2 or 4      | 4 or 8 |
| クラスタ毎のパラメタ |             |        |
| クラスタ間通信遅延  | 2 サイクル      |        |
| 命令ウィンドウ    | 各 32        |        |
| 発行幅        | 各 1 or 2 命令 |        |

よび、メモリ定義表の容量は、それぞれ、1 次命令、および、1 次データ・キャッシュと同じ範囲をカバーできるようにした；すなわち、それぞれ 8K エントリである。ただし連想度は、1 次命令、および、1 次データ・キャッシュがそれぞれ 2 であるのに対して 4 とした。このように、やや大きな容量 / 連想度としたのは、ミスによる影響を評価結果から除外するためである。メモリのレイテンシ (18 サイクル) は、メモリ・インタフェースを集積する AMD Athlon プロセッサのものを参考にした。

##### ステアリング方式

測定に用いたステアリング方式は次の 5 つ：

**RR Round-Robin** 型のステアリング方式。連続した  $N$  個の命令を同じクラスタにステアリングする。  $X$  番目にフェッチされた命令は、クラスタ数を  $C$  とすると  $[X / N \text{ mod } C]$  番のクラスタへステアリングされる。各クラスタに均等にステアリングできる一方で、依存関係にある命令を別々のクラスタにステアリングしてしまう可能性が高い。

**DB Dependence Based** のステアリング方式。依存関係にある命令を同じクラスタにステアリングする。クラスタ間通信による遅延の影響を受けにくい一方、特定のクラスタに命令が集中してしまう。

**WS Dependence Based** にクリティカリティ予測としてスラック予測を用い (With Slack)、スラックの値がクラスタ間通信遅延以上の命令を負荷の小さなクラスタへステアリングする方式。DB 方式に比べ、特定のクラスタに命令が集中しにくい。

**CB** 3章で述べた Consumer Based のステアリング方式。次回実行時に、Consumer 側の命令が使用したクラスタで Producer 側の命令を実行する。

**PB** 3章で述べた Producer Based のステアリング方式。次回実行時に、Producer 側の命令が使用したクラスタで Consumer 側の命令を実行する。

これらの 5 つの方式をクラスタ化されていないプロセッサと IPC を比較することにより評価を行う。クラスタ化されていないプロセッサの命令ウィンドウの大きさ、発行幅はクラスタ化されたプロセッサのその合計とした。比較は IPC のみにより行い、動作クロックなどは考慮しない。

表 2 各表、キャッシュ、メモリのパラメタ

|         | 容量     | ラインサイズ | 連想度 | レイテンシ (cycles) |
|---------|--------|--------|-----|----------------|
| スラック表   | 8K 命令  | —      | 4   | 1              |
| レジスタ定義表 | 64 命令  | —      | 64  | 1              |
| メモリ定義表  | 8K 命令  | —      | 4   | 1              |
| 1 次 命令  | 8K 命令* | 8 命令*  | 2   | 1              |
| 1 次 データ | 8K ワード | 8 ワード  | 2   | 1              |
| 2 次     | 1MB    | 64B    | 2   | 6              |
| メモリ     | —      | —      | —   | 18†            |

\*: SimpleScalar ツールセットでは 8B/命令。

†: 最初のワード、後続ワードには 2 サイクル / ワードが必要。

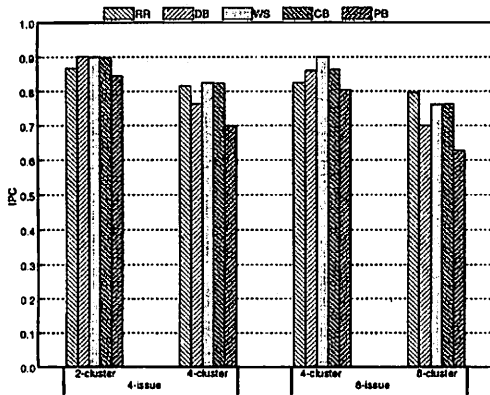


図6 各プロセッサ構成におけるIPCの比

なお、DBとWSについてはステアリング・ステージがフロントエンドに追加されるとし、分岐予測のミス・ペナルティを他の方式よりも1大きい7サイクルとし、ステアリングに用いる負荷情報は命令ウィンドウ内の命令数とした。

#### 4.2 評価結果

図6に結果を示す。図には4組のバーがあり、それぞれ左から、総発行幅が4でクラスタ数が2、4の場合、総発行幅が8でクラスタ数が4、8の場合の8つのベンチマーク・プログラムの平均である。図の各組にはバーが5本ずつあり、前節で述べた5つのステアリング方式に対応している。

図6をみると、CBはいずれの場合においてもWSと同程度のIPCであることから、依存関係を考慮した命令ステアリングができていていると言える。しかし、各クラスタの発行幅が小さくなると、RRとの差が小さくなっている。特に、総発行幅が8でクラスタ数が8の場合では、RRよりも3%程度大きなIPC低下が見られる。このことは、CBはクラスタの負荷分散が十分にできていないことを示している。

一方、PBはいずれの場合においても、CBより大きなIPC低下が見られる。特に、各クラスタの発行幅が小さい場合に、大きくIPCが低下している。

#### 5. おわりに

本稿では、スラック予測をクラスタ型スーパースカラ・プロセッサにおける命令ステアリングに応用する方法について述べた。

評価の結果、スラック予測を用いることでフロントエンドに複雑なステアリング・ロジックを用いずに、用いた場合と同程度のIPCを保つことができることが分かった。しかし、IPCの向上はなく、個々のクラスタの発行幅が小さいときには大きなIPC低下が見られた。その原因として、本稿で提案した方式では柔軟なステア

リングができない点が挙げられる。3章でも述べたように、提案方式では命令の実行後に次回使用するクラスタを決定する。つまり、その命令が実際にステアリングする際、クラスタの負荷情報が考慮されることはない。よって、ステアリングされたクラスタの負荷が大きい場合、その命令の実行は遅れIPCの低下の原因となる。

今後は、ステアリング精度の向上、分散レジスタ方式への応用、ハードウェアへの実装などを検討している。

#### 参考文献

- 1) Fields, B. and Blodik, S. R. R.: Focusing Processor Policies via Critical-Path Prediction, *28th Int'l Symp. on Computer Architecture (ISCA-28)*, pp. - (2001).
- 2) Fields, B., Bodik, R. and Hill, M. D.: Slack: Maximizing Performance under Technological Constraints, *29th Int'l Symp. on Computer Architecture (ISCA-29)* (2002).
- 3) Tune, E., Liang, D., Tullsen, D. M. and Calder, B.: Dynamic Prediction of Critical Path Instructions, *7th Int'l Symp. on High Performance Computer Architecture (HPCA7)* (2001).
- 4) Grunwald, D.: Micro-architecture Design and Control Speculation for Energy Reduction, *Power Aware Computing*, Kluwer, ISBN 0-306-46786-0, chapter 4 (2002).
- 5) 千代延昭宏ほか: プログラム実行時における命令の重要度決定に関する検討, *SWoPP*, pp. 1-6 (2003).
- 6) Casmira, J. and Grunwald, D.: Dynamic Instruction Scheduling Slack, *Kool Chips Workshop (in conjunction with MICRO-33)* (2000).
- 7) 劉小路ほか: クリティカルリティ予測のためのスラック予測, *SACSIS* (2004).
- 8) 福山智久ほか: スラック予測を用いた省電力アーキテクチャ向け命令スケジューリング, *SACSIS* (2005).
- 9) Palacharla, S., Jouppi, N. P. and Smith, J. E.: Complexity-Effective Superscalar Processors, *Proc. 24th Int'l Symp. on Computer Architecture (ISCA24)* (1997).
- 10) 小林良太郎ほか: データフロー・グラフの最長パスに着目したクラスタ化スーパースカラ・プロセッサにおける命令発行機構, *JSPP* (2001).
- 11) 服部直也ほか: クリティカルパス情報を用いた分散命令発行型マイクロプロセッサ向けステアリング方式, *情報処理学会ACS論文誌*, Vol. 45, No. SIG 6(ACS 6), pp. 12-22 (2004).